



Analizador de la Composición Corporal

InBody - Biospace

Línea profesional

Adicionales



Estadímetro InLab



Toallas electroconductivas



Software de gestión de datos / Nube LookinBody Web



BSM170 / BSM370

InBody770

✉ 55 1309 5219
✉ 55 50250147
✉ info.mx@inbody.com

Especificaciones

Método de análisis por segmento directo, multi-frecuencia de impedancia magnética

Frecuencias 1kHz, 5kHz, 50kHz, 250kHz, 500kHz, 1000kHz

Duración 1min.

Base de Datos 100,000

Hoja de Resultados A4(Composición Corporal (Adulto, Niño), Agua Corporal)

Peso/Dimensión 38 kg / 526 × 854 × 1175mm

Rango de Edad 3 – 99 años

Rango de Peso 10 – 270 kg

Rango de Estatura 95 – 220 cm

Interfaz Externa Incluye Wi-fi

Aplicación

- ▶ Centros de Cáncer
- ▶ Clínicas de Linfedema
- ▶ Nefrología
- ▶ Pediatría
- ▶ Medicina Preventiva
- ▶ Investigación Clínica
- ▶ Cirugía General
- ▶ Medicina Deportiva
- ▶ Nutrición Clínica
- ▶ Medicina de Rehabilitación
- ▶ Medicina Estética
- ▶ Medicina Torácica



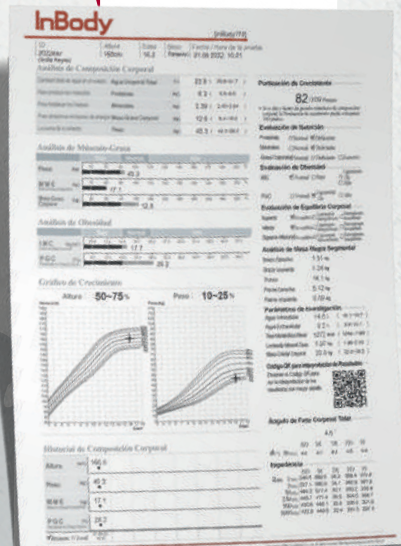
✉ info.mx@inbody.com

55 50250147

© 55 1309 5219



Hoja pediátrica



REFERENCIAS

1. Brozek J, Grande F, Anderson JT, Keys A. Densitometric analysis of body composition: Revision of some quantitative assumptions. *Ann NY Acad Sci*. 1963 Sep 26;110:113-40.

2. Heymsfield SB, Smith R, Aulet M, Bensen B, Lichtman S, Wang J, Pierson RN Jr. Appendicular skeletal muscle mass: measurement by dual-photon absorptiometry. *Am J Clin Nutr*. 52(2):214-8, 1990.

3. Lohman TG. Advanced in body composition assessment - Current issues in exercise science series. Champaign IL: Human Kinetics. pp 80. 1992.

4. WHO and the National Heart, Lung, and Blood Institute: Clinical guideline on the Identification, Evaluation, and treatment of overweight and obesity in adults, the evidence report. 1998 (*Obes Res* 6(suppl 2):51S, 1998).

5. No se han publicado datos sobre la masa magra segmental. El valor ideal proporcionado se basa en los datos estadísticos de la distribución segmental de la masa magra según los datos internos de InBody Co., Ltd (aproximadamente 20,000 sujetos).

6. Sartorio A, Malavolti M, Agosti F, Marinone PG, Calti O, Battistini N and Bedogni G. Body water distribution in severe and its assessment from eight-polar bioelectrical impedance analysis.

7. Marken Lichtenbelt WD, Fogelholm M. Increased extracellular water compartment relative to the intracellular water compartment after weight reduction *J Appl Physiol*. 1999 Jul;87(1):294-8.

1. F omon SJ, Haschke F, Ziegler EE. Body composition of reference children from birth to age 10 years. *Am J Chin Nutr* 35:1169-1175, 1982.

2. Shields M, Tremblay MS. Canadian childhood obesity estimates based on WHO, IOTF and CDC cut-points. *Int J Pediatr Obes* 2010;5(3):265e73.

3. Mahan LK and Escott-stump S. Krause's Food, nutrition & diet therapy 9th edition. WB Saunders Co. pp 276

1. Harvey AM, Johns RJ, McKusick VA, Owens AH, and Ross RS. The principle and practice of medicine 22nd edition pp 686

2. No se han publicado datos sobre la masa magra segmental. El valor ideal proporcionado se basa en los datos estadísticos de la distribución segmental de la masa magra según los datos internos de InBody Co., Ltd (aproximadamente 20,000 sujetos).

3. Sartorio A, Malavolti M, Agosti F, Marinone PG, Calti O, Battistini N and Bedogni G. Body water distribution in severe and its assessment from eight-polar bioelectrical impedance analysis.

4. Marken Lichtenbelt WD, Fogelholm M. Increased extracellular water compartment relative to the intracellular water compartment after weight reduction *J Appl Physiol*. 1999 Jul;87(1):294-8.